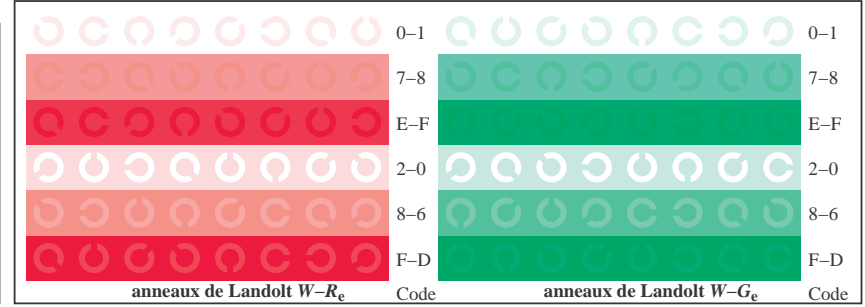


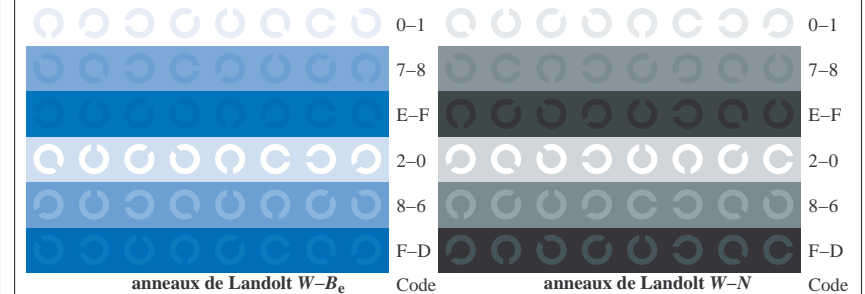
TF881-1, Fig. D4Wde: 16 paliers équidistants $W-R_e; W-G_e; W-B_e; W-N$; $rgb/cmy0 \rightarrow rgb_{de} setrgbcolor$

+-.:		lmno		pqrs		tuvw	
xyz;		hijk		lmno		pqrs	
tuvw		defg		hijk		lmno	
pqrs		!abc		!abc		defg	
lmno		+-.:		xyz;		tuvw	
hijk		tuuvw		defg		defg	
defg		pqrs		!abc		6 N	
!abc		10 N		R _e G _e B _e Z		R _e G _e B _e Z	
							4 N R _e G _e B _e Z
							N R _e G _e B _e Z

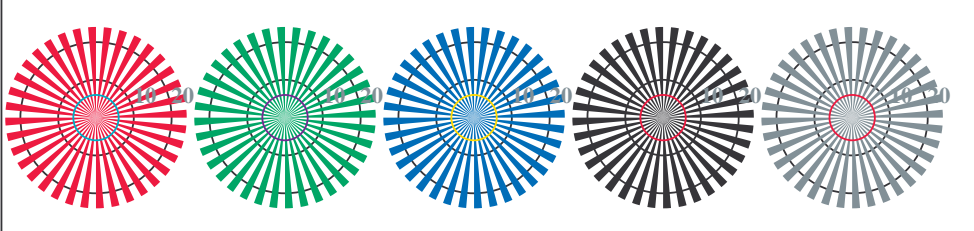
TF881-3, Fig. D5Wde: code et anneau de Landolt $N; R_e; G_e; B_e; Z; PS$ opérateur: $rgb \rightarrow rgb_{de} setrgbcolor$



TF881-5, Fig. D6Wde: anneaux de Landolt $W-R_e; W-G_e$; PS opérateur: $rgb \rightarrow rgb_{de} setrgbcolor$

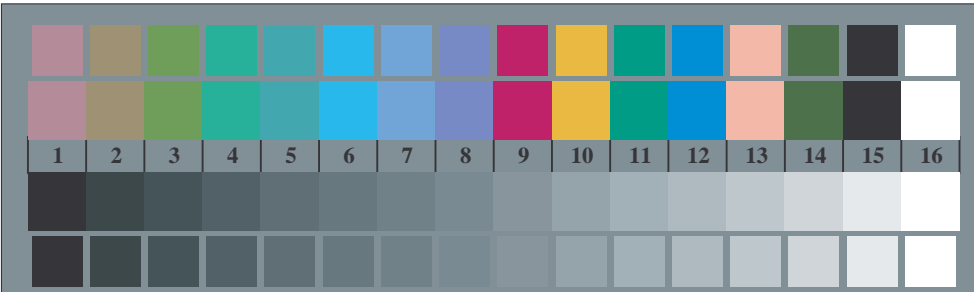


TF881-7, Fig. D7Wde: anneaux de Landolt $W-B_e; W-N$; PS opérateur: $rgb \rightarrow rgb_{de} setrgbcolor$



étoile Siemens $W-R_e$ étoile Siemens $W-G_e$ étoile Siemens $W-B_e$ étoile Siemens $W-N$ étoile Siemens $W-Z$

TF880-5, Fig. D2Wde: étoile de Siemens $W-R_e; W-G_e; W-B_e; W-N$; PS opérateur: $rgb \rightarrow rgb_{de} setrgbcolor$



TF880-7, Fig. D3Wde: 14 CIE test couleurs et 2 + 16 paliers de gris (sf); PS opérateur: $rgb/cmy0 \rightarrow rgb_{de} setrgbcolor$